= СИНТЕЗ И СВОЙСТВА НЕОРГАНИЧЕСКИХ СОЕДИНЕНИЙ =

УДК 544.032,546.02

КАТАЛИЗАТОРЫ ОКИСЛЕНИЯ СО НА ОСНОВЕ СЛОЖНЫХ АНТИМОНАТОВ СИСТЕМЫ La₂O₃-C₀O-Sb₂O₅

© 2024 г. А. В. Егорышева^a, *, С. В. Голодухина^a, Л. С. Разворотнева^a, b, Е. Ю. Либерман^c, А. В. Чистяков^d, А. В. Наумкин^e, О. Г. Эллерт^a

^а Институт общей и неорганической химии им. Н.С. Курнакова РАН,
Ленинский пр-т, 31, Москва, 119071 Россия

^b Национальный исследовательский университет "Высшая школа экономики",
Мясницкая ул., 20, Москва, 101000 Россия

^c Российский химико-технологический университет им. Д.И. Менделеева,
Миусская пл., 9, Москва, 125047 Россия

^d Институт нефтехимического синтеза им. А.В. Топчиева РАН,
Ленинский пр-т, 29, Москва, 119991 Россия

^e Институт элементоорганических соединений им. А.Н. Несмеянова РАН,
ул. Вавилова, 28, Москва, 119334 Россия

*e-mail: anna_egorysheva@rambler.ru

Поступила в редакцию 19.06.2024 г.
После доработки 29.07.2024 г.
Принята к публикации 30.07.2024 г.

Однофазные образцы соединений, реализующиеся в системе $La_2O_3-CoO-Sb_2O_5$, синтезированы путем термического разложения нитратов, цитратным методом, соосаждением с гидротермальной обработкой осадка и последующим отжигом. Изучены их каталитические свойства в реакции окисления CO. Установлено, что наибольшей активностью при низких температурах и стабильностью при циклических испытаниях обладает катализатор $LaCo_{1/3}Sb_{5/3}O_6$ со структурой розиаита, полученный методом соосаждения с гидротермальной обработкой осадка и последующим отжигом. В присутствии этого катализатора 90%-ная конверсия CO зафиксирована при 265°C. Методами $P\Phi$ ЭС, $T\Pi$ Д- O_2 и ИК-спектроскопии выполнено исследование поверхности $LaCo_{1/3}Sb_{5/3}O_6$. Показано, что модель Ленгмюра—Хиншелвуда является наиболее вероятным механизмом каталитического окисления CO, которое сопровождается окислительно-восстановительными процессами $Co^{3+} \leftrightarrow Co^{2+}$ и $Sb^{3+} \leftrightarrow Sb^{5+}$ с участием поверхностно-активных форм кислорода и вакансий. При этом ионы сурьмы в данном процессе играют роль донора электронов, увеличенная концентрация которых способствует ускорению процессов адсорбции и формированию активных форм кислорода на поверхности. Установлено отсутствие загрязнения поверхности образца в процессе катализа, что исключает потребность в его регенерации.

Ключевые слова: поверхность, оксиды кобальта, катализ, окисление СО

DOI: 10.31857/S0044457X24110017, **EDN**: JMWYID

ВВЕДЕНИЕ

В последние десятилетия вырос интерес к созданию дешевых эффективных катализаторов окисления СО, не содержащих благородные металлы. Некоторые оксиды, особенно Сосодержащие, уже показали высокую активность в данной реакции [1]. Однако их высокая чувствительность к содержанию серы и H_2O , а также сильная адсорбция CO с образованием поверхностных карбонатных комплексов приводят к их дезактивации при циклических режимах работы.

Показано, что сложные оксиды кобальта менее чувствительны к дезактивации или отравлению, однако их активность уступает простым оксидам [1, 2]. Поэтому задача повышения активности и стабильности Со-содержащих катализаторов попрежнему актуальна.

На примере $LnFe_{0.5}Sb_{1.5}O_6$ (Ln = La-Sm) было показано, что антимонаты, относящиеся к структурному типу розиаита, являются эффективными катализаторами в реакции окисления CO. Их активность выше, чем у железосодержа-

щих перовскитов $LnFeO_3$ [2] и близких по составу сложных антимонатов $Ln_{1.8}Fe_{1.2}SbO_7$ (Ln=Pr-Tb) со структурой пирохлора [3–5]. Каталитическая активность этих соединений обусловлена прежде всего возможностью редокспревращений $Sb^{3+} \leftrightarrow Sb^{5+}$ на поверхности катализаторов и их высокой вакансионной емкостью по кислороду. Свойством катализировать окисление CO обладают и розиаиты $LaNi_{1/3}Sb_{5/3}O_6$ и $LaCo_{1/3}Sb_{5/3}O_6$ [6, 7]. В связи с этим представляет интерес исследование других кобальтсодержащих антимонатов лантана и выяснение возможного механизма каталитического окисления CO на их поверхности.

Ранее были описаны три антимоната кобальта и лантана: $LaCo_{1/3}Sb_{5/3}O_6$ со структурой розиаита [8], ромбоэдрически искаженного пирохлора $La_3Co_2Sb_3O_{14}$ [9] и перовскита La₃Co₂SbO₉ [10]. Изучение фазовых равновесий в системе $La_2O_3-CoO-Sb_2O_5$ позволило нам установить существование еще двух новых фаз: LaCo₂SbO₆ и La₂CoSb₂O₉ [11]. Систематическое изучение каталитических свойств антимонатов кобальта и лантана, относящихся к различным структурным типам, ранее не проводили. В настоящей работе приведены результаты сравнительного исследования каталитических свойств антимонатов кобальта-лантана различного состава и структуры: $LaCo_{1/3}Sb_{5/3}O_6$, La₃Co₂SbO₉, LaCo₂SbO₆ и La₃Co₂Sb₃O₁₄. Изучено влияние условий и метода синтеза на их активность в реакции окислении СО на примере катализаторов, проявивших наибольшую активность, исследована поверхность образцов до и после реакции и установлен механизм окисления СО в их присутствии.

ЭКСПЕРИМЕНТАЛЬНАЯ ЧАСТЬ

Однофазные образцы антимонатов кобальталантана были получены цитратным методом, разложением нитратов, соосаждением с гидротермальной обработкой осадка и последующим отжигом. Выбор этих методов обусловлен возможностью получения соединений заданного состава при относительно низких температурах, что является важным фактором, учитывая высокую летучесть оксида сурьмы. Условия синтеза образцов аналогичны описанным нами ранее [7]. В качестве исходных реактивов использовали $La(NO_3)_3 \cdot 6H_2O$ (ч.), $Co(NO_3)_2 \cdot 6H_2O$ (ч.)

и Sb_2O_3 (99.9%, Aldrich). При синтезе методом разложения нитратов оксид сурьмы брали с 10%-ным избытком. В остальных случаях все реактивы брали в стехиометрическом соотношении.

Фазовый состав образцов устанавливали с помощью дифрактометра Bruker D8 Advance (CuK_{α} -излучение, Ni-фильтр, детектор LYNXEYE). Идентификацию фаз проводили на основе сравнения рентгенограмм с имеющимися в базе данных PDF2. Элементный состав и морфологию синтезированных образцов определяли, используя трехлучевую рабочую станцию Carl Zeiss NVision40, оснащенную детектором X-Max (Oxford instruments), для проведения рентгеноспектрального микроанализа. Измерения удельной поверхности проводили методом низкотемпературной адсорбции азота с использованием анализатора ATKh06 (KATAKON, Россия). Сорбцию азота проводили при -196° С, десорбцию – при -50°C. Величину удельной сорбции азота измеряли при его парциальных давлениях 0.05-0.2. Парциальное давление азота определяли с помощью катарометра, в качестве газа-носителя использовали гелий марки А, удельную поверхность рассчитывали в рамках модели БЭТ.

Для сравнения каталитической активности антимонатов использовали данные температурных зависимостей конверсии СО. Эксперименты проводили в U-образном проточном кварцевом реакторе, в который между слоями колотого кварца загружали 0.3 г катализатора. Модельную газовую смесь (CO – 1.5 об. %; O_2 – 10 об. %; N_2 — баланс) подавали со скоростью 1 мл/с. Температуру в реакторе определяли по показаниям термопары в центре реактора на уровне каталитического слоя. Измерение концентрации газов на выходе из реактора производили при помощи газового хроматографа Chrom-5, детектор катарометр (газ-носитель – гелий марки А). Величину конверсии СО (а, %) оценивали по формуле:

$$\alpha = \frac{[A_0] - [A]}{[A_0]} \times 100\%,$$

где $[A_0]$ и [A] — концентрация СО на входе и выходе из реактора (об. %) соответственно.

Исследование методом рентгеновской фотоэлектронной спектроскопии проводили с использованием модернизированного электронного спектрометра ЭС-2403 СКБ АП РАН, оснащенного анализатором энергии PHOIBOS 100-5MCD (Specs GmbH, Германия) и рентгеновским источником $MgK_{\alpha}/AlK_{\alpha}$ XR-50 (Specs GmbH, Германия). Для генерации фотоэлектронов применяли характеристическое немонохроматизированное AlK_a -излучение, равное 1486.6 эВ, мощностью 250 Вт. Регистрацию спектров проводили при комнатной температуре и давлении не выше 3×10^{-6} Па. Обзорные спектры регистрировали с шагом 0.5 эВ, спектры высокого разрешения – с шагом 0.1 эВ и энергией пропускания 40 и 10 эВ соответственно. Калибровку спектров осуществляли по состоянию С-С/С-Н, выделенному в спектре С1s, которому была приписана энергия 284.8 эВ. Расчет концентраций элементов проводили с учетом функции пропускания спектрометра и коэффициентов элементной чувствительности, включенных в программное обеспечение спектрометра. Фон неупругих потерь энергии электронов вычитали из спектров по методу Ширли.

Эксперименты по температурно-программируемой десорбции O_2 ($T\Pi \mathcal{I} - O_2$) проводили на газохимическом анализаторе типа USGA с детектором теплопроводности. Анализ осуществляется следующим образом: подъем температуры со скоростью 7 град/мин до 850° С в токе гелия. Поскольку температура анализа выше температуры предобработки, для поглощения паров воды, выделяемых из образца, использовали ловушку с дробленой щелочью. После завершения анализа печь охлаждали до 50° С.

ИК-спектры в диапазоне 600-4000 см⁻¹ до и после катализа снимали на ИК-Фурьеспектрометре VERTEX-70 в режиме накопления в течение 5 мин, (194 сканирования/спектр) с разрешением 2 см⁻¹ в инертной атмосфере. В качестве инертного газа использовали аргон с расходом 0.6 л/ч.

РЕЗУЛЬТАТЫ И ОБСУЖДЕНИЕ

Преимуществом метода соосаждения с гидротермальной обработкой и последующим отжигом (далее по тексту метод соосаждения) является низкая вероятность загрязнения поверхности в процессе синтеза. Поэтому для первичного сравнения каталитической активности антимонатов различного состава был выбран именно этот метод синтеза.

Таблица 1. Температуры 50%- (T_{50}) и 90%-ной (T_{90}) конверсии СО и удельные поверхности образцов, синтезированных методом соосаждения

Образец	$S_{\text{B} \to \text{T}}, \text{M}^2/\Gamma$	T_{50} , °C	<i>T</i> ₉₀ , °C
La ₃ Co ₂ Sb ₃ O ₁₄	1.34	202	280
$LaCo_{1/3}Sb_{5/3}O_6$	3.17	276	295
$LaCoO_3$	0.6	282	367
$La_3Co_2SbO_9$	1.6	343	530
$LaCo_2SbO_6$	0.3	435	510
CoSb ₂ O ₆	4.3	480	_

В идентичных условиях (температура последнего этапа синтеза 1050° C) были синтезированы однофазные образцы антимонатов кобальталантана $LaCo_{1/3}Sb_{5/3}O_6$, $La_3Co_2SbO_9$, $LaCo_2SbO_6$ и $La_3Co_2Sb_3O_{14}$, а для сравнения — известный ранее катализатор $LaCoO_3$ и антимонат кобальта $CoSb_2O_6$ (рис. 1). В зависимости от состава удельная поверхность синтезированных образцов варьировала от 0.3 до 4.3 м 2 /г (табл. 1). Микрофотографии образцов приведены на рис. 2.

Каталитические тесты в реакции окисления СО показали, что активность антимонатов кобальта разного состава существенно различается. Лучшие результаты продемонстрировали образцы ромбоэдрически искаженного пирохлора $La_3Co_2Sb_3O_{14}$ и розиаита $LaCo_{1/3}Sb_{5/3}O_6$ (табл. 1, рис. 3). Температура 90%-ной конверсии СО в присутствии известного ранее катализатора — перовскита $LaCoO_3$, синтезированного в тех же условиях, — оказалась выше, чем у $LaCo_{1/3}Sb_{5/3}O_6$ и $La_3Co_2Sb_3O_{14}$. Наименьшую активность показал $CoSb_2O_6$.

Согласно полученным результатам, активность катализаторов не зависит от соотношения ионов сурьмы и кобальта в образце. В то же время $La_3Co_2Sb_3O_{14}$ и $LaCo_{1/3}Sb_{5/3}O_6$ показали лучшие каталитические свойства, чем $LaCoO_3$, что указывает на перспективность их дальнейшего исследования. Поэтому изучение влияния метода и условий синтеза на активность катализаторов мы проводили только для составов $La_3Co_2Sb_3O_{14}$ и $LaCo_{1/3}Sb_{5/3}O_6$.

Для сравнения образцы $La_3Co_2Sb_3O_{14}$ и $LaCo_{1/3}Sb_{5/3}O_6$ были синтезированы еще двумя методами: термическим разложением нитратов и цитратным методом (рис. 4). Образцы представляли собой керамику с размером зерна от 100 до

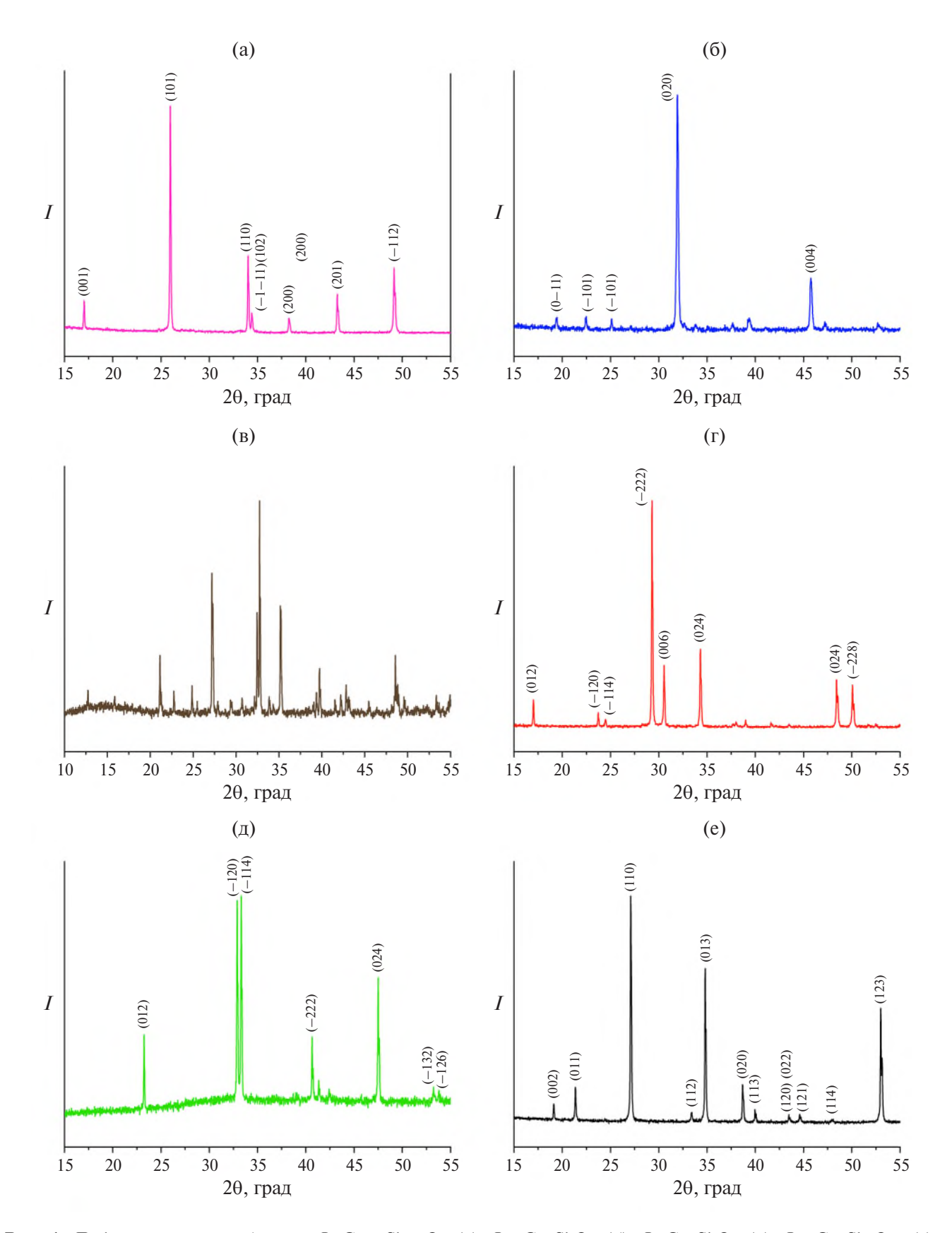


Рис. 1. Дифрактограммы образцов $LaCo_{1/3}Sb_{5/3}O_6$ (a), $La_3Co_2SbO_9$ (б), $LaCo_2SbO_6$ (в), $La_3Co_2Sb_3O_{14}$ (г), $LaCoO_3$ (д) и $CoSb_2O_6$ (е), синтезированных методом соосаждения.

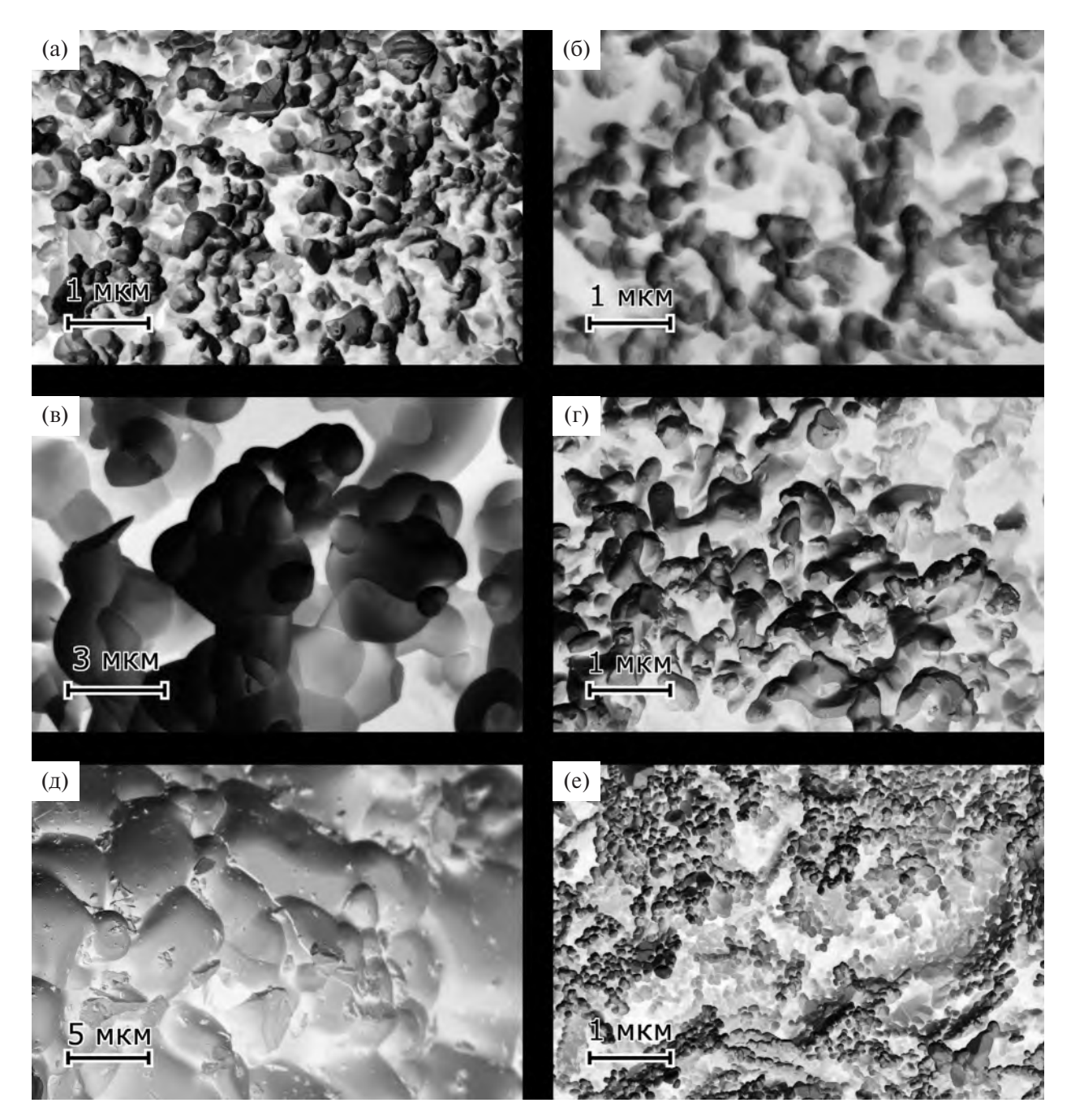


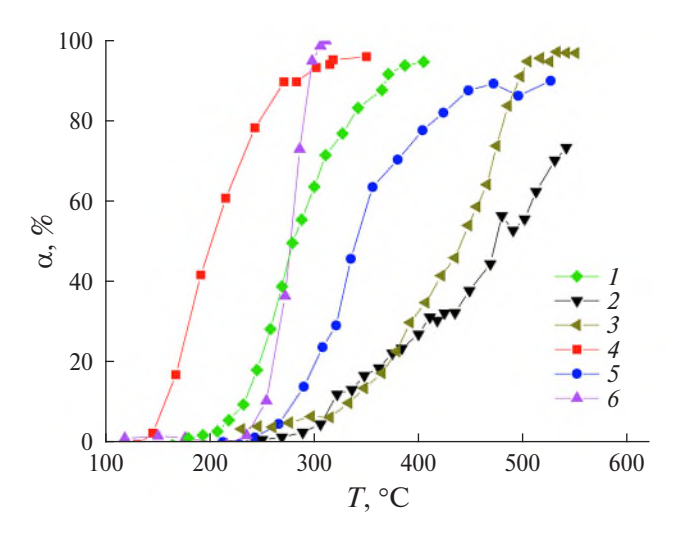
Рис. 2. Морфология $LaCo_{1/3}Sb_{5/3}O_6$ (a), $La_3Co_2SbO_9$ (б), $LaCo_2SbO_6$ (в), $La_3Co_2Sb_3O_{14}$ (г), $LaCoO_3$ (д) и $CoSb_2O_6$ (е), синтезированных методом соосаждения.

500 нм. Величина их удельной поверхности не превышала 6 м 2 /г.

Каталитическая активность образцов $La_3Co_2Sb_3O_{14}$ и $LaCo_{1/3}Sb_{5/3}O_6$, синтезированных цитратным методом и термическим разложением нитратов, оказалась ниже, чем у полученных методом соосаждения (рис. 5), что указывает на меньшую эффективность использования данных методов синтеза и преимущество метода соосаждения.

Циклические испытания образцов, синтезированных методом соосаждения, показали нестабильность катализатора $La_3Co_2Sb_3O_{14}$ (рис. 6). При этом активность $LaCo_{1/3}Sb_{5/3}O_6$ возрастала, его характеристики T_{50} и T_{90} уменьшались от цикла к циклу (табл. 2) и достигли значений $T_{50} = 254^{\circ}$ С и $T_{90} = 265^{\circ}$ С.

На основе полученных данных о каталитической активности антимонатов кобальта различного состава можно сделать вывод о том, что со-



CO Рис. 3. Зависимость степени конверсии присутствии антимонатов температуры В различного состава, синтезированных метосоосаждения: $LaCoO_3$ (1), CoSb₂O₆ $LaCo_2SbO_6$ (3), $La_3Co_2Sb_3O_{14}$ (4), $La_3Co_2SbO_9$ (5) и LaCo_{1/3}Sb_{5/3}O₆ (6).

Таблица 2. Температуры 50%- (T_{50}) и 90%-ной (T_{90}) конверсии CO на поверхности $La_3Co_2Sb_3O_{14}$ и $LaCo_{1/3}Sb_{5/3}O_6$, синтезированных методом соосаждения с гидротермальной обработкой и последующим отжигом для нескольких последовательных циклов нагревания—охлаждения

Цикл	<i>T</i> ₅₀ , °C	<i>T</i> ₉₀ , °C			
La ₃ Co ₂ Sb ₃ O ₁₄					
I	163	241			
II	178	280			
III	202	280			
LaCo _{1/3} Sb _{5/3} O ₆					
I	276	295			
II	258 274				
III	254	265			

единение со структурой розиаита является наиболее перспективным для дальнейших исследований, так как его образец, синтезированный методом соосаждения, проявляет активность при наименьших температурах, не повышающихся при последующем циклировании. Поэтому исследование поверхности катализаторов и установление механизма каталитического окисления СО мы проводили на образцах данного состава, синтезированных различными методами. Методом РФЭС исследовано зарядовое состояние атомов на поверхности образцов розиаита $LaCo_{1/3}Sb_{5/3}O_6$ до и после катализа. Анализ не выявил отличий в спектрах образцов, полученных различными методами, что указывает на схожесть процессов, происходящих на их поверхности в ходе каталитической реакции.

В РФЭ-спектрах Со наблюдаются пики при \sim 779.3 и \sim 795.7 эВ, соответствующие спинорбитальному дублету $Co2p_{3/2}$ и $Co2p_{1/2}$ соответственно (рис. 7). Оба пика сопровождаются менее интенсивными пиками саттелитов. Спинорбитальное расщепление Δ_2 для образцов до и после катализа составляет ~16 эВ (табл. 3), что указывает на преимущественное зарядовое состояние Co^{2+} в обоих образцах [12—14]. Для сравнения спин-орбитальное расщепление для Со³⁺ близко к 15 эВ [14, 15]. Кроме того, интенсивные сателлитные пики при $Co2p_{3/2}$ и $Co2p_{1/2}$ являются дополнительным свидетельством присутствия Co^{2+} в высокоспиновом состоянии [16]. В то же время из табл. 3 видно, что 1) интенсивность сателлитного пика $2p_{3/2}$ у образца после катализа выше, чем до катализа; 2) после катализа наблюдается незначительное смещение сателлита в сторону более высоких энергий связи; 3) спин-орбитальное расщепление Δ_2 после катализа незначительно увеличивается; 4) энергетический разрыв между основной полосой $Co2p_{3/2}$ и сателлитом Δ_1 также увеличивается после катализа. Совокупность этих фактов может указывать на то, что наряду с Со²⁺ на поверхности образца до катализа присутствует и некоторое количество Co^{3+} , который восстанавливается до Co^{2+} в процессе окисления СО [15, 17].

В диапазоне энергий связи 526-544 эВ зарегистрированы два пика при ~ 530 и ~ 539 эВ (рис. 8). Первый пик является суперпозицией пиков O1s и $Sb3d_{5/2}$, тогда как второй принадлежит уровню $Sb3d_{3/2}$. Поэтому для анализа состояния сурьмы на поверхности образцов использовали только второй пик с энергией связи 539.37 (табл. 4), которая близка к значениям для Sb_2O_3 (539.6 [18], 539.5 [19], 539.6 эВ [20]) и указывает на преимущественное состояние сурьмы Sb^{3+} на поверхности катализатора $LaCo_{1/3}Sb_{5/3}O_6$. После прохождения каталитической реакции пик $Sb3d_{5/2}$ совпадает по форме с исходным, но смещен в сторону большей энергии связи на 0.06 эВ (рис. 8). Известно, что энергия связи для Sb^{5+} находит-

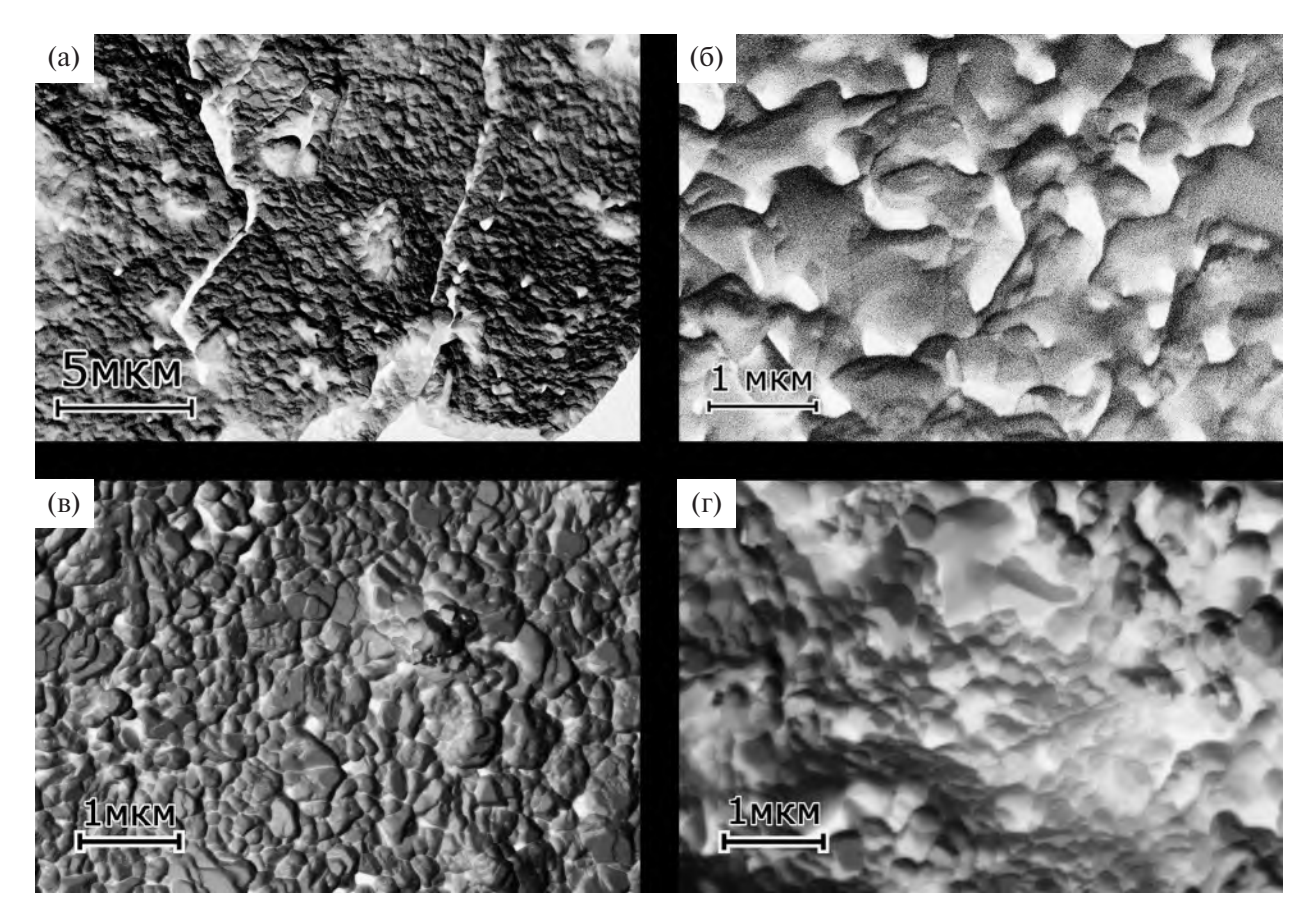


Рис. 4. Морфология $La_3Co_2Sb_3O_{14}$ (a, б) и $LaCo_{1/3}Sb_{5/3}O_6$ (в, г), синтезированных цитратным методом (а, в) и термическим разложением нитратов (б, г).

Таблица 3. Характеристики фотоэлектронных спектров Co2p: энергия связи (E_{cb}), ширина (W) и относительная интенсивность (I_{oth}) фотоэлектронных пиков для катализатора $LaCo_{1/3}Sb_{5/3}O_6$, синтезированного методом соосаждения с гидротермальной обработкой осадка и последующим отжигом

Образец	Параметр	$Co2p_{3/2}$	Sat 1	Δ_1	$Co2p_{1/2}$	Sat 2	Δ_2
До катализа	Есв, эВ	779.4	785.6	6.2	795.7	803.2	16.3
	<i>W</i> , эВ	2.04	2.3		2.04	3.2	
	$I_{ m OTH}$	0.41	0.12		0.21	0.26	
После катализа	Есв, эВ	779.2	786.4	7.2	795.7	802.8	16.5
	<i>W</i> , эВ	2.1	3.1		2.1	3.26	
	$I_{ m OTH}$	0.38	0.21		0.19	0.22	

 $\Delta_1 = \text{sat} 1 - \text{Co} 2p_{3/2}, \Delta_2 = \text{Co} 2p_{1/2} - \text{Co} 2p_{3/2}.$

ся в диапазоне 540.4-540.6 эВ [18-20]. Поэтому данный результат может указывать на незначительное увеличение концентрации Sb^{5+} после катализа, однако основным состоянием сурьмы по-прежнему остается Sb^{3+} . На увеличение доли Sb^{5+} после катализа указывает также снижение величины оже-параметра от 990.12 до 989.86 (табл. 4).

Форма и энергия связи пиков в спектрах La3d образцов LaCo_{1/3}Sb_{5/3}O₆ до и после катализа не изменяются (рис. 9, табл. 5). Энергия связи 835.0 эВ уровня La3d_{5/2} соответствует данным для иона La₃+ [21].

На основании полученных результатов можно сделать вывод, что основными состояниями катионов на поверхности $LaCo_{1/3}Sb_{5/3}O_6$ яв-

Таблица 4. Энергия связи (E_{cb}), ширина (W) фотоэлектронных пиков, кинетическая энергия (E_{kuh}) и ожепараметры для катализатора $LaCo_{1/3}Sb_{5/3}O_6$, синтезированного методом соосаждения с гидротермальной обработкой осадка и последующим отжигом

Образец	Параметр	Sb3d _{3/2}	Sb3d _{5/2}	Sb MNN	$Sb3d_{5/2} + Sb MNN$
	$E_{\rm cB}, {\rm 9B}$	539.37	530.02		
До катализа	W , $\ni \mathbf{B}$	1.6			
	$E_{\scriptscriptstyle ext{KUH}}, eg ext{B}$			460.1	990.12
	$E_{\rm cB}, { m 9B}$	539.43	530.08		
После катализа	W , $\ni \mathbf{B}$	1.57			
	$E_{ ext{ iny KUH}},$ $ m { m B}$			459.78	989.86

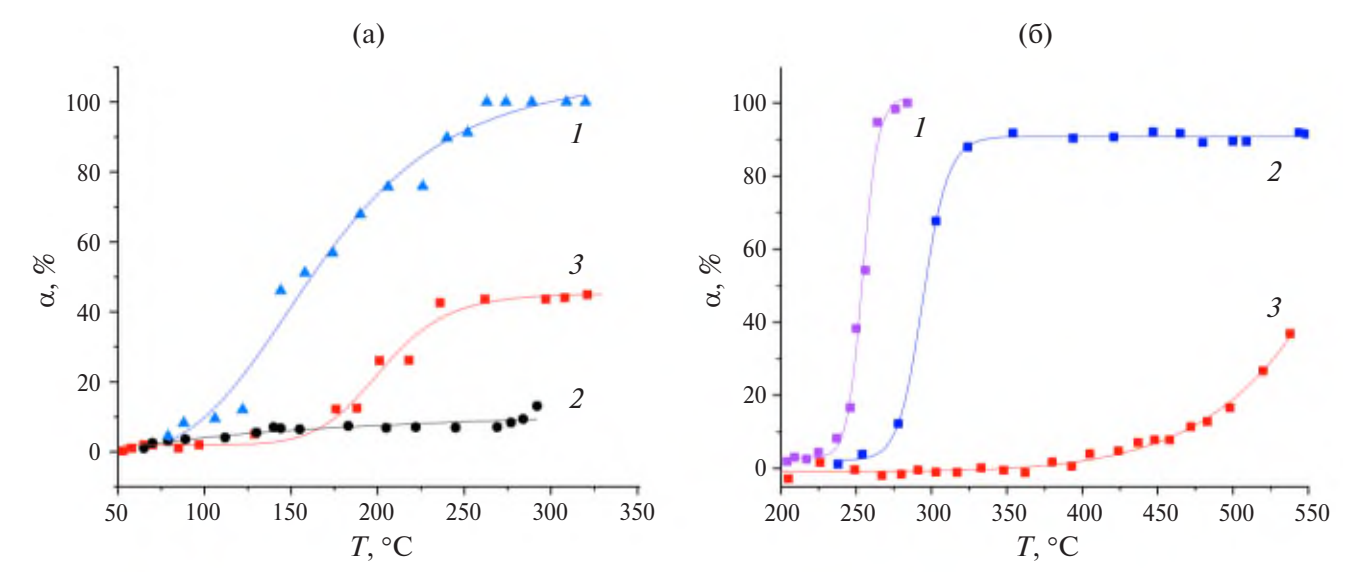


Рис. 5. Зависимости степени конверсии CO от температуры на поверхности образцов $La_3Co_2Sb_3O_{14}$ (а) и $LaCo_{1/3}Sb_{5/3}O_6$ (б), синтезированных методом соосаждения (*1*), цитратным методом (*2*) и методом термического разложения нитратов (*3*).

ляются Sb^{3+} , Co^{2+} и La^{3+} . Также на поверхности исходного образца могут присутствовать ионы Co^{3+} . В ходе каталитического окисления CO на поверхности происходят окислительновосстановительные процессы $Sb^{3+} \leftrightarrow Sb^{5+}$ и $Co^{3+} \leftrightarrow Co^{2+}$, поэтому после завершения катализа на поверхности наблюдается и присутствие ионов Sb^{5+} . Ион лантана не принимает участия в каталитическом процессе.

Анализ активных форм кислорода на поверхности $LaCo_{1/3}Sb_{5/3}O_6$, синтезированного различными методами, проводили методом термопрограммируемой десорбции O_2 . Как видно на рис. 10, на кривых $T\Pi Д-O_2$ розиаитов можно выделить две области десорбции кислорода при 50-400 и 400-800°C. Низкотемпературная широкая полоса имеет сложную форму, что указывает на присутствие на поверхности катализа-

торов нескольких форм адсорбированного кислорода. В области α-кислорода (<300°C) различают слабосвязанный кислород с энергией активации десорбции до 90 кДж/моль (<100°C) и хемосорбированные формы поверхностного кислорода (O_2^- или O_2^{2-}) со слабым взаимодействием с поверхностными вакансиями с энергией активации десорбции до 130 кДж/моль (<300°С) [22, 23]. Количество десорбированного α-кислорода для образцов, синтезированных разложением нитратов, цитратным методом и соосаждением, составило 13, 14 и 18 мкмоль/г соответственно. Таким образом, активность катализаторов $LaCo_{1/3}Sb_{5/3}O_6$, синтезированных различными методами, коррелирует с их способностью активировать кислород в низкотемпературной области.

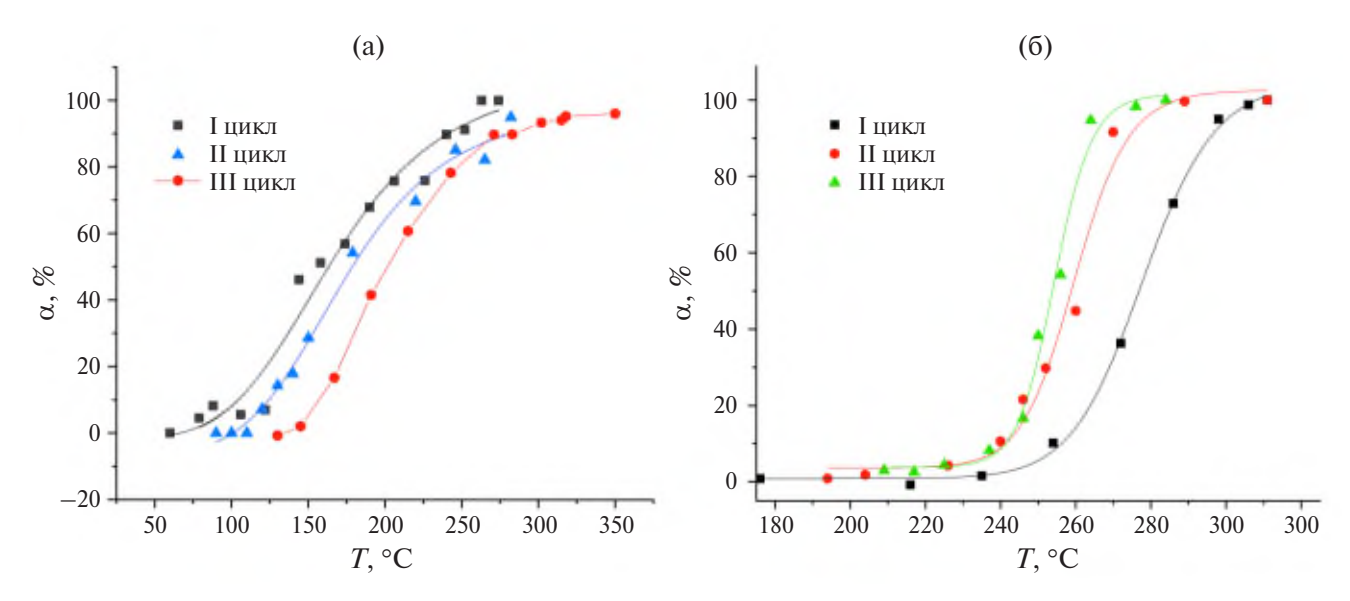


Рис. 6. Зависимости степени конверсии CO от температуры на поверхности образцов $La_3Co_2Sb_3O_{14}$ (a) и $LaCo_{1/3}Sb_{5/3}O_6$ (б), синтезированных методом соосаждения, для нескольких последовательных циклов нагревания—охлаждения.

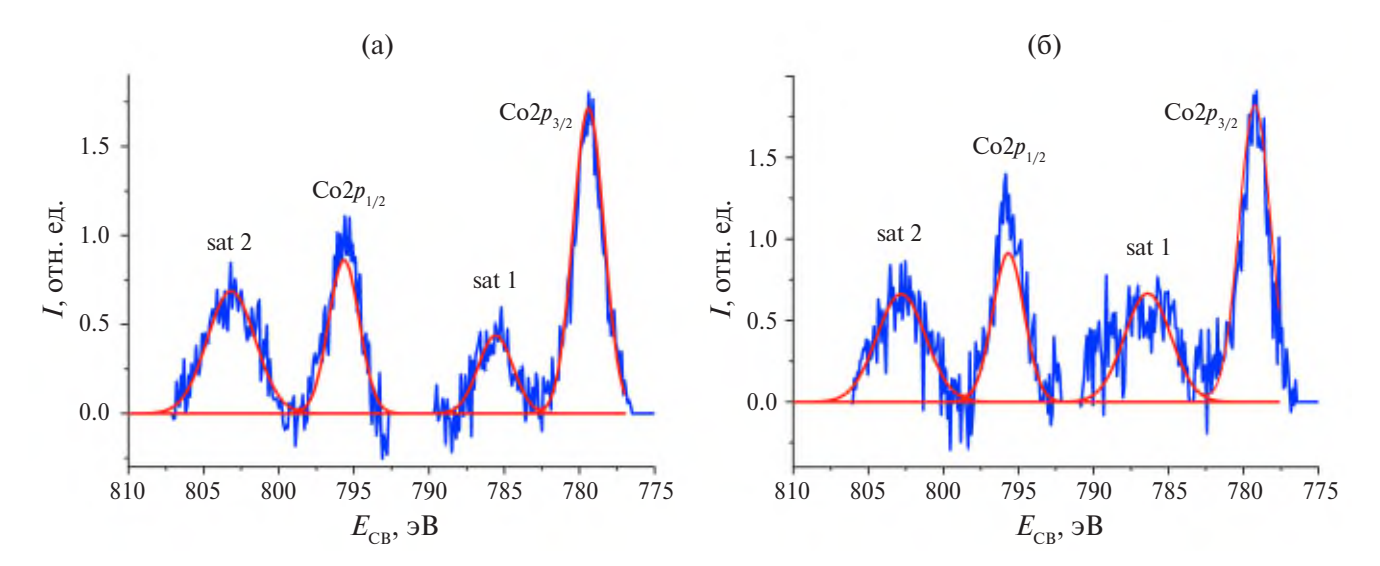


Рис. 7. РФЭ-спектры Co2p образцов $LaCo_{1/3}Sb_{5/3}O_6$, синтезированных методом соосаждения, до (а) и после (б) окисления CO.

Таблица 5. Характеристики фотоэлектронных спектров La3d: энергия связи (E_{c_B}), ширина (W) и относительная интенсивность ($I_{\rm отн}$) фотоэлектронных пиков для катализатора LaCo_{1/3}Sb_{5/3}O₆, синтезированного методом соосаждения с гидротермальной обработкой осадка и последующим отжигом

Образец	Параметр	La3 $d_{5/2}$	La3 $d_{5/2}$, sat	La3 $d_{3/2}$	La3 $d_{3/2}$, sat	
	$E_{\rm cB}, { m 3B}$	835.0	838.7	851.8	855.5	
До катализа	W , $\ni \mathbf{B}$	2.31	2.52	2.29	2.5	
	$I_{ m OTH}$	0.31	0.29	0.22	0.18	
	$E_{\rm cB}$, эВ	835.0	838.6	851.8	855.5	
После катализа	W , $\ni \mathbf{B}$	2.25	2.53	2.16	2.59	
	$I_{ m OTH}$	0.31	0.30	0.21	0.19	

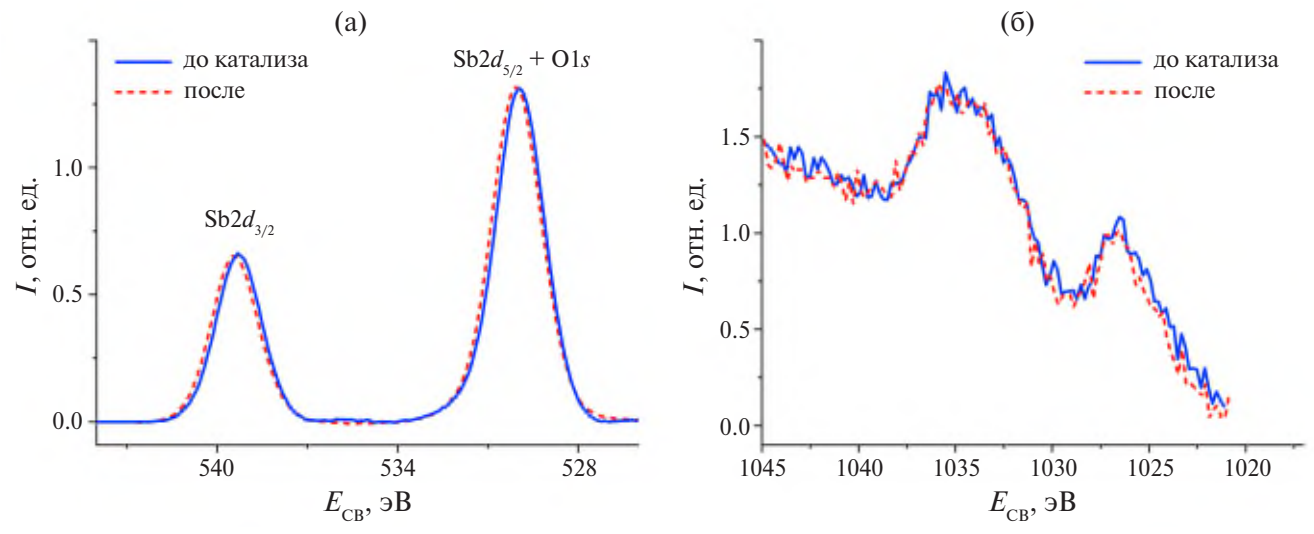


Рис. 8. РФЭ-спектры Sb3d и O1s (a) и Sb MNN оже-спектры (б) образцов LaCo_{1/3}Sb_{5/3}O₆, синтезированных методом соосаждения, до и после окисления CO.

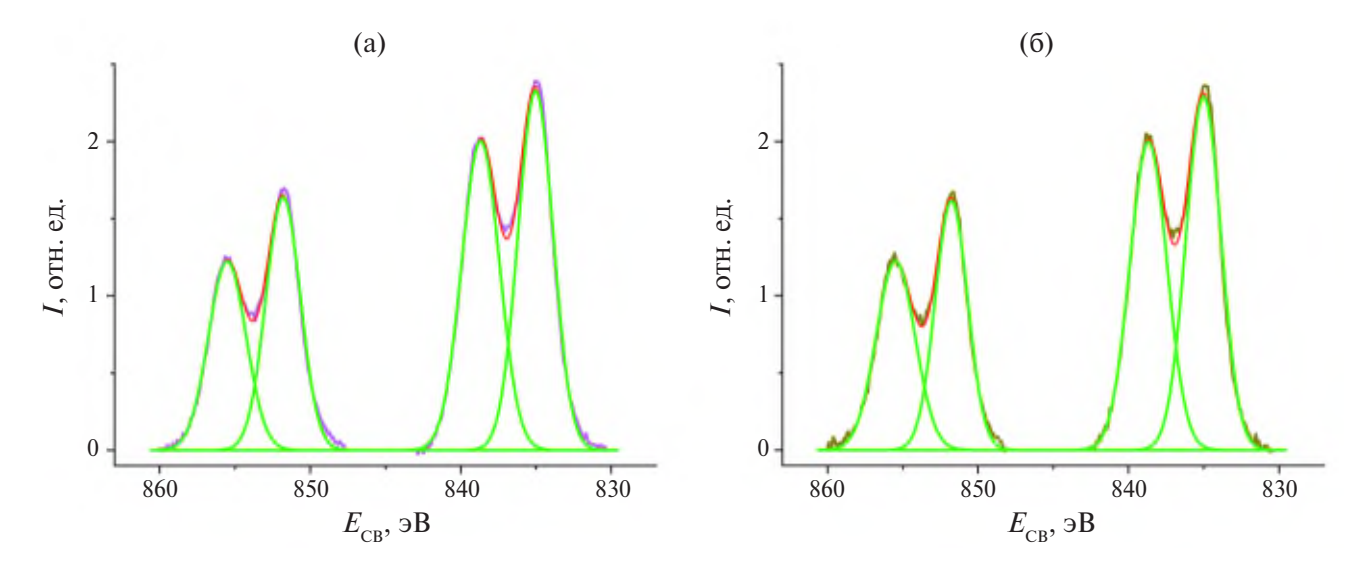


Рис. 9. РФЭ-спектры La3d образцов LaCo_{1/3}Sb_{5/3}O₆ до (а) и после (б) окисления CO.

Формы кислорода, десорбированные в диапазоне $300-500^{\circ}$ С, можно отнести к хемосорбированному поверхностному (O_2^- или O_2^{2-}) и подповерхностно-активному кислороду (O^-) – β -кислород. Подповерхностно-активный кислород (O^-) химически адсорбирован на кислородных вакансиях с сильным взаимодействием со структурными дефектами кристаллической решетки [22, 23]. На профиле ТПД- O_2 образца, полученного цитратным методом, в области 490° С хорошо видно плечо, отвечающее β -кислороду. Именно этот температурный диапазон соответствует началу каталитической активности образца. Формы кислорода, десорбированные при 500° С, относят к объемному решеточному кисло-

роду (O_2^-) , так называемому γ -кислороду. В случае образцов, синтезированных соосаждением и цитратным методом, γ -кислород не участвует в процессе каталитического окисления CO, так как температура его десорбции существенно выше рабочего диапазона данных катализаторов.

В ИК-спектрах образцов $LaCo_{1/3}Sb_{5/3}O_6$, синтезированных соосаждением и разложением нитратов, до и после катализа отсутствуют признаки каких-либо примесей. Спектры катализатора до и после эксперимента практически идентичны (рис. 11).

В отличие от них в ИК-спектре образца $LaCo_{1/3}Sb_{5/3}O_6$, синтезированного цитратным методом, до катализа присутствуют полосы,

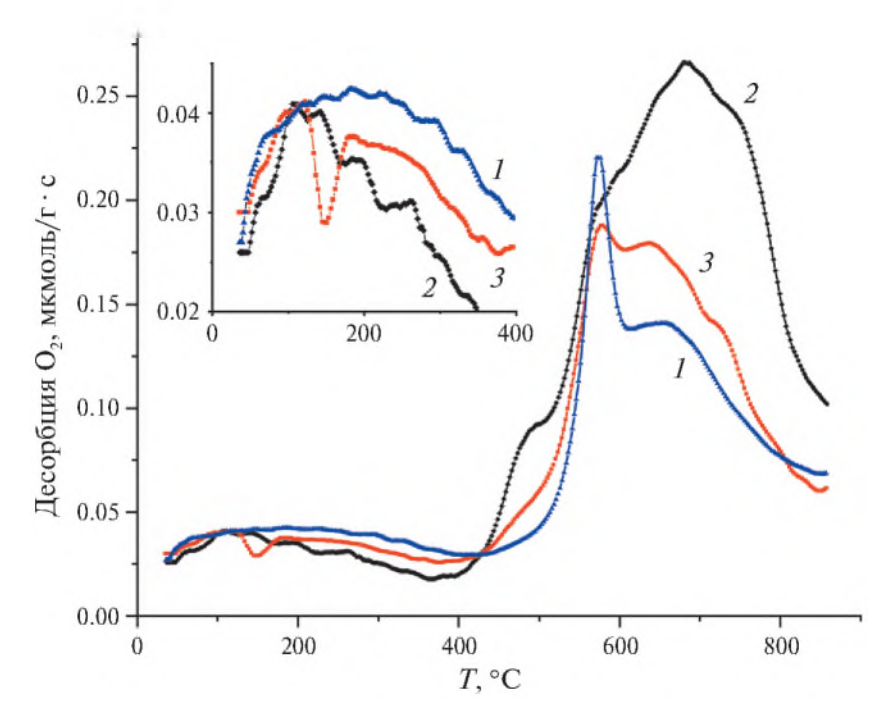


Рис. 10. ТПД- O_2 кривые образцов, синтезированных соосаждением (1), цитратным методом (2) и методом термического разложения нитратов (3).

которые можно отнести к следовым количествам продуктов разложения органических прекурсоров. Это полосы при 2870 и 2930 см⁻¹, соответствующие хемосорбированным на поверхности СН₃ и СН₂, и полосы колебаний связей С-О в составе органической соли в области 1000-1100 см⁻¹ [24]. Наблюдаются также полосы при 1550 и 1640 см^{-1} , характерные для адсорбированных би- и монодентатных карбонатных структур, которые образуются в результате хемосорбции СО2. После катализа полосы, связанные с хемосорбцией СО2, становятся более явными, появляются полосы при 1750, 1355, 1260 см $^{-1}$ и широкая полоса в области $1100-900 \text{ cm}^{-1}$. Полосы при 1750 и 1260 см⁻¹ могут быть отнесены к колебаниям карбонильных групп (С=О) и СОО соответственно [24]. Свой вклад в этой области могут давать колебания различных активных форм кислорода O_2^{3-} (x == 0, 1 или 2), хемосорбированных на поверхности катализатора [25-28]. Известно, что в зависимости от состава катализатора в области $1350-1150 \text{ см}^{-1}$ лежат полосы, соответствующие колебания O_2 . Колебания O_2^2 фиксировали в области 1050-850 см⁻¹. В [29] к колебаниям O_2^{2-} на поверхности α -Fe₂O₃ отнесена серия полос при 1090, 1060, 1035, 1010, 990 и 930 см $^{-1}$. Полоса в области 1100-900 см-1 может быть связана с колебаниями связи Co=O, возникающей на поверхности катализатора в результате частичной диссоциации адсорбированного кислорода.

Анализ ИК-спектров показал, что поверхность образцов, полученных соосаждением и разложением нитратов, не нуждается в регенерации после каталитической реакции. Этим объясняется стабильность их каталитических характеристик. Поверхность образца, синтезированного цитратным методом, напротив, оказалась сильно загрязнена продуктами разложения органических прекурсоров, что определило его низкую активность в окислении СО.

Изучение поверхности катализаторов $LaCo_{1/3}Sb_{5/3}O_6$, полученных различных условиях, показало, что высокая активность образца, синтезированного соосаждением, обусловлена большим количеством поверхностного α-кислорода, который, вероятно, в условиях реакции быстро рекомбинирует. Следовательно, в ходе каталитического окисления СО на этом образце реализуется механизм Элея-Ридела или Ленгмюра-Хиншелвуда [1]. В то же время, согласно данным РФЭС, в ходе каталитической реакции происходят окислительновосстановительные процессы $Sb^{3+} \leftrightarrow Sb^{5+}$ и $Co^{3+} \leftrightarrow Co^{2+}$. На основании этого с учетом температурного диапазона синтезированных нами

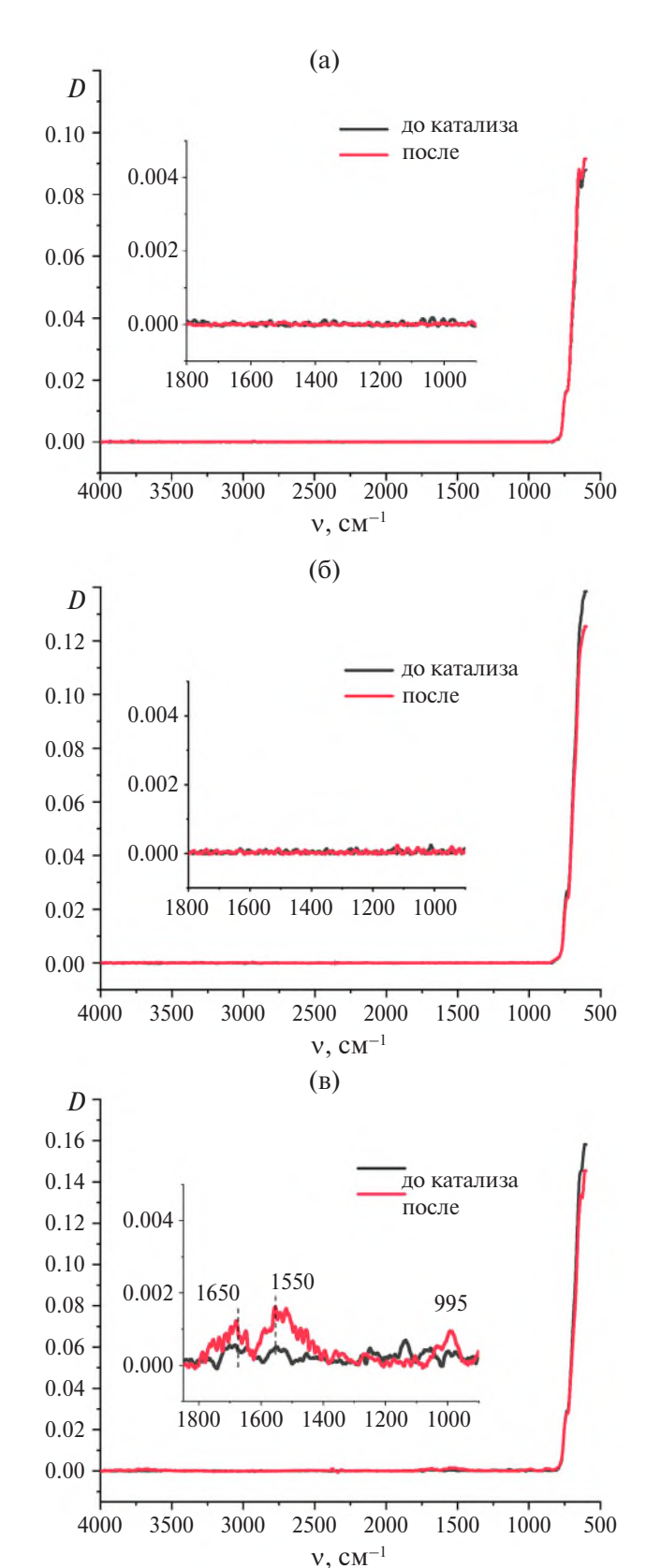


Рис. 11. ИК-спектры образцов $LaCo_{1/3}Sb_{5/3}O_6$, полученных соосаждением с гидротермальной обработкой и последующим отжигом (а), разложением нитратов (б), цитратным методом (в).

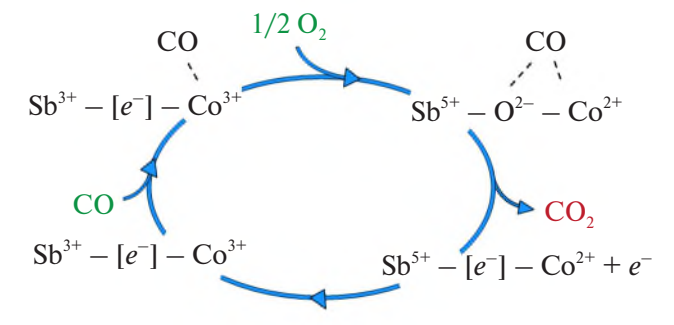


Рис. 12. Схема окисления СО в присутствии $LaCo_{1/3}Sb_{5/3}O_6$.

катализаторов модель Ленгмюра—Хиншелвуда является более вероятным механизмом.

Сравнение образцов, синтезированных цитратным методом и разложением нитратов, показывает практически равное количество α-кислорода. Однако сильно загрязненная поверхность цитратного образца не позволяет ему проявить активность в этом диапазоне температур. Повышение его каталитической активности при более высоких температурах объясняется взаимодействием с поверхностноактивированными молекулами СО подповерхностного β- и объемного γ-кислорода. Количество этих активных форм кислорода в цитратном образце больше, чем в других катализаторах. Можно предположить, что в данном образце реализуется механизм Марса—Ван Кревелена.

Анализируя полученные результаты, можно предположить, что в процессе окисления СО на поверхности розиаитов образуются активные центры $-[Sb^{3+}-V_{O^-}-Co^{3+}]-$, где V_{O^-} – кислородная вакансия, захватившая электрон. Абсорбированная молекула СО взаимодействует с ближайшим ионом Со³⁺ с образованием поверхностного карбонатного комплекса (рис. 12). При этом Co^{3+} восстанавливается до Co^{2+} . В это же время молекула O_2 адсорбируется вблизи Sb^{3+} на кислородной вакансии, окисляя Sb^{3+} до Sb^{5+} и формируя активные формы O_2^- или O^- . Активные формы кислорода взаимодействуют с СОгруппами карбонатных комплексов с образованием СО2, который десорбирует в газовую фазу. Последующее восстановление $Sb^{5+} \rightarrow Sb^{3+}$ и реокисление $Co^{2+} \rightarrow Co^{3+}$ замыкают цикл каталитической реакции.

Известно [30], что в случае окисления СО по механизму Ленгмюра—Хиншелвуда скорость реакции определяется концентрацией поверхност-

ного α -кислорода. Присутствие ионов сурьмы, обладающих низким редокс-потенциалом превращений $\mathrm{Sb}^{3+} \to \mathrm{Sb}^{5+}$ [31], создает условия для быстрого формирования активных форм кислорода на поверхности катализатора путем увеличения концентрации свободных электронов и тем самым способствует ускорению каталитического процесса.

Интересно, что среди всех исследованных нами антимонатов кобальта именно $LaCo_{1/3}Sb_{5/3}O_6$ со структурой розиаита проявил наибольшую каталитическую активность. Этот результат нельзя связать ни с концентрацией кобальта и сурьмы, ни с их соотношением, так как были изучены соединения с различным содержанием этих элементов. Способствовать высокой каталитической активности розиаита может его слоистая структура, которая сформирована из отрицательно заряженных слоев (Co/Sb)O₆-октаэдров и положительных ионов лантана, находящихся в межслоевом пространстве. Вероятно, что чередование положительно и отрицательно заряженных областей также создает благоприятную среду для различных адсорбционных явлений на его поверхности.

ЗАКЛЮЧЕНИЕ

Методами соосаждения с гидротермальной обработкой осадка и последующим отжигом, цитратного синтеза и термического разложения нитратов получены однофазные образцы с различной морфологией: LaCo_{1/3}Sb_{5/3}O₆, La₃Co₂SbO₉, LaCo₂SbO₆ и La₃Co₂SbO₁₄. Установлено, что наибольшей активностью при низких температурах и стабильностью при циклических испытаниях в реакции окисления СО обладает катализатор $LaCo_{1/3}Sb_{5/3}O_6$ со структурой розиаита, синтезированный методом соосаждения $(T_{90} = 265^{\circ} \text{C})$. Проведено сравнительное исследование поверхности $LaCo_{1/3}Sb_{5/3}O_6$, синтезированного различными методами, что позволило выявить причины различия их каталитических свойств. Показано, что каталитическое окисление СО на поверхности образца, обладающего максимальной активностью, протекает по механизму Ленгмюра-Хиншелвуда и сопровождается окислительно-восстановительными процессами $Co^{3+} \leftrightarrow Co^{2+}$ и $Sb^{3+} \leftrightarrow Sb^{5+}$ с участием поверхностно-активных форм кислорода и вакансий. При этом ионы сурьмы в данном процессе играют роль донора электронов, увеличенная концентрация которых способствует ускорению процессов адсорбции и формированию активных форм кислорода на поверхности катализатора. Установлено отсутствие загрязнения поверхности образца в процессе катализа, что исключает потребность в его регенерации.

ФИНАНСИРОВАНИЕ РАБОТЫ

Работа выполнена при финансовой поддержке РНФ (проект № 23-23-0011. Исследования проводили с использованием оборудования ЦКП ФМИ ИОНХ РАН, ЦКП "Аналитический центр проблем глубокой переработки нефти и нефтехимии" ИНХС РАН и Центра исследования строения молекул ИНЭОС РАН.

КОНФЛИКТ ИНТЕРЕСОВ

Авторы заявляют об отсутствии конфликта интересов.

СПИСОК ЛИТЕРАТУРЫ

- Royer S., Duprez D. // ChemCatChem. 2011. V. 3. P. 24.
 - https://doi.org/10.1002/cctc.201000378
- Royer S., Duprez D., Can F. et al. // Chem Rev. 2014.
 V. 114. P. 10292.
 - https://doi.org/10.1021/cr500032a
- 3. *Egorysheva A.V., Ellert O.G., Liberman E.Yu. et al.* // J. Alloys Compd. 2019. V. 777. P. 655. https://doi.org/10.1016/j.jallcom.2018.11.008
- Ellert O.G., Egorysheva A.V., Liberman E.Yu. et al. // Ceram. Int. 2020. V. 46. P. 27725. https://doi.org/10.1016/j.ceramint.2020.07.271
- 5. Эллерт О.Г., Егорышева А.В., Либерман Е.Ю. и др. // Неорган. материалы. 2019. Т. 55. № 12. С. 1335.
 - https://doi.org/10.1134/S0002337X19120030
- 6. *Егорышева А.В., Голодухина С.В., Плукчи К.Р. и др.* // Журн. неорган. химии. 2023. Т. 68. № 12. С. 1702.
 - https://doi.org/10.31857/S0044457X23601220
- 7. *Голодухина С.В., Разворотнева Л.С., Егорышева А.В. и др.* // Докл. РАН. Химия, науки о материалах. 2021. Т. 500. № 1. С. 29. https://doi.org/10.31857/S268695352105006X
- 8. *Blasse G., De Pauw A.D.M.* // J. Inorg. Nucl. Chem. 1970. V. 32. № 8. P. 2533. https://doi.org/10.1016/0022-1902(70)80298-6
- Li K., Hu Y., Wang Y. et al. // J. Solid State Chem. 2014. V. 217. P. 80. https://doi.org/10.1016/j.jssc.2014.05.003

- Franco D.G., Fuertes V.C., Blanco M.C. et al. // J. Solid State Chem. 2012. V. 194. P. 385. https://doi.org/10.1016/j.jssc.2012.05.045
- 11. *Егорышева А.В., Голодухина С.В., Плукчи К.Р. и др.* // Журн. неорган. химии. 2024. Т. 69. № 8. В печати
- Li J.-G., Buchel R., Isobe M. et al. // J. Phys. Chem. C. 2009. V. 113. P. 8009. https://doi.org/10.1021/jp8080047
- 13. *Jeong B.-S.*, *Heo Y.W.*, *Norton D.P. et al.* // Appl. Phys. Lett. 2004. V. 84. P. 2608. https://doi.org/10.1063/1.1691499
- 14. *Riva R., Miessner H., Vitali R., Del Piero G.* // Appl. Catal., A: Gen. 2000. V. 196. P. 111. https://doi.org/10.1016/S0926-860X(99)00460-3
- 15. *Mathew T.* // J. Catal. 2002. V. 210. P. 405. https://doi.org/10.1006/jcat.2002.3712
- Towle S.N., Bargar J.R. // J. Colloid Interface Sci. 1997. V. 187. P. 62. https://doi.org/10.1006/jcis.1996.4539
- 17. *Anantharamaiah P.N., Joy P.A.* // Phys. Chem. Chem. Phys. 2016. V. 18. P. 10516. https://doi.org/10.1039/C6CP00369A
- 18. *Birchall T., Connor J.A., Hillier L.H.* // J. Chem. Soc., Dalton Trans. 1975. V. 20. P. 2003. https://doi.org/10.1039/dt9750002003
- Carlson T.A. Auger electron spectroscopy // Photoelectron Auger Spectroscopy. Boston: Springer US, 1975. P. 279. https://doi.org/10.1007/978-1-4757-0118-0_6
- 20. *Garbassi F.* // Surf. Interface Anal. 1980. V. 2. P. 165. https://doi.org/10.1002/sia.740020502

- Teterin Yu.A., Teterin A.Yu., Utkin I.O., Ryzh-kov M.V. // J. Electron Spectros. Relat. Phenom. 2004. V. 137–140. P. 601. https://doi.org/10.1016/j.elspec.2004.02.014
- 22. *Che M.* // Adv. Catal. 1983. V. 32. P. 1. https://doi.org/10.1016/S0360-0564(08)60439-3
- 23. *Yamazoe N., Fuchigami J., Kishikawa M., Seiyama T.* // Surf. Sci. 1979. V. 86. P. 335. https://doi.org/10.1016/0039-6028(79)90411-4
- 24. *Little L.H.* Infrared Spectra of Adsorbed Species. London: Academic Press, 1966. P. 428.
- 25. *Li C., Domen K., Maruya K., Onishi T.* // J. Chem. Soc. Chem. Commun. 1988. P. 1541. https://doi.org/10.1039/C39880001541
- 26. *Li Z., Xu G., Hoflund G.B.* // Fuel Process Technol. 2003. V. 84. P. 1. https://doi.org/10.1016/S0378-3820(02)00099-1
- 27. Tsyganenko A.A., Rodionova T.A., Filimonov V.N. // React. Kinet. Catal. Lett. 1979. V. 11. P. 113. https://doi.org/10.1007/BF02074196
- 28. *Zecchina A., Spoto G., Coluccia S.* // J. Mol. Catal. 1982. V. 14. P. 351. https://doi.org/10.1016/0304-5102(82)80095-3
- 29. *Al-Mashta F., Sheppard N., Lorenzelli V., Busca G.* // J. Chem. Soc., Faraday Trans. 1. 1982. V. 78. P. 979. https://doi.org/10.1039/F19827800979
- 30. *Campbell C.T., Ertl G., Kuipers H., Segner J.* // J. Chem. Phys. 1980. V. 73. P. 5862. https://doi.org/10.1039/F19827800979
- 31. *Carrazan S.R.G., Cadus L., Dieu P. et al.* // Catal. Today. 1996. V. 32. P. 311. https://doi.org/10.1016/S0920-5861(96)00184-8

CO OXIDATION CATALYSTS BASED ON COMPLEX ANTIMONATES OF THE La₂O₃-C₀O-Sb₂O₅ SYSTEMS

A. V. Egorysheva^{a, *}, S. V. Golodukhina^a, L. S. Razvorotneva^{a, b}, E. Yu. Liberman^c, A. V. Chistyakov^d, A. V. Naumkin^e and O. G. Ellert^a

Single-phase samples of compounds crystalized in the $La_2O_3-CoO-Sb_2O_5$ system have been synthesized by several methods. Catalytic properties of these samples were studied in the CO oxidation reaction. It was found that the $LaCo_{1/3}Sb_{5/3}O_6$ catalyst with a rosiaite structure synthesized by coprecipitation with hydrothermal treatment of sediment and subsequent annealing has the largest activity at low temperatures and stability during cyclic tests. This catalyst provides the 90% CO conversion at 265°C. The surface of $LaCo_{1/3}Sb_{5/3}O_6$ was studied using XPS, TPD O_2 and IR spectroscopy. It is shown that the CO catalytic oxidation proceeds according to the Langmuir-Hinshelwood mechanism and is accompanied by $Co^{3+}\leftrightarrow Co^{2+}$ and $Sb^{3+}\leftrightarrow Sb^{5+}$ redox processes with the participation of surfactants and oxygen vacancies. At the same time, antimony ions in this process act as an electron donors, the increasing concentration of which promotes the adsorption and formation of active oxygen species on the surface. The absence of contamination of the surface during the catalytic process has been established, which eliminates the need for its regeneration.

Keywords: LaCo_{1/3}Sb_{5/3}O₆, surface, cobalt oxides, catalysis, CO oxidation